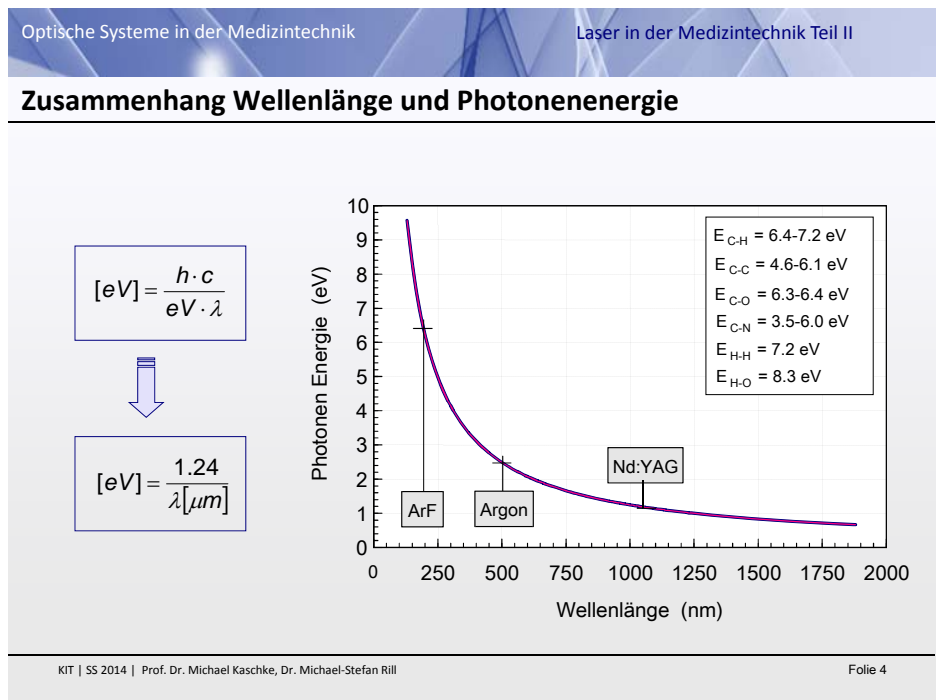
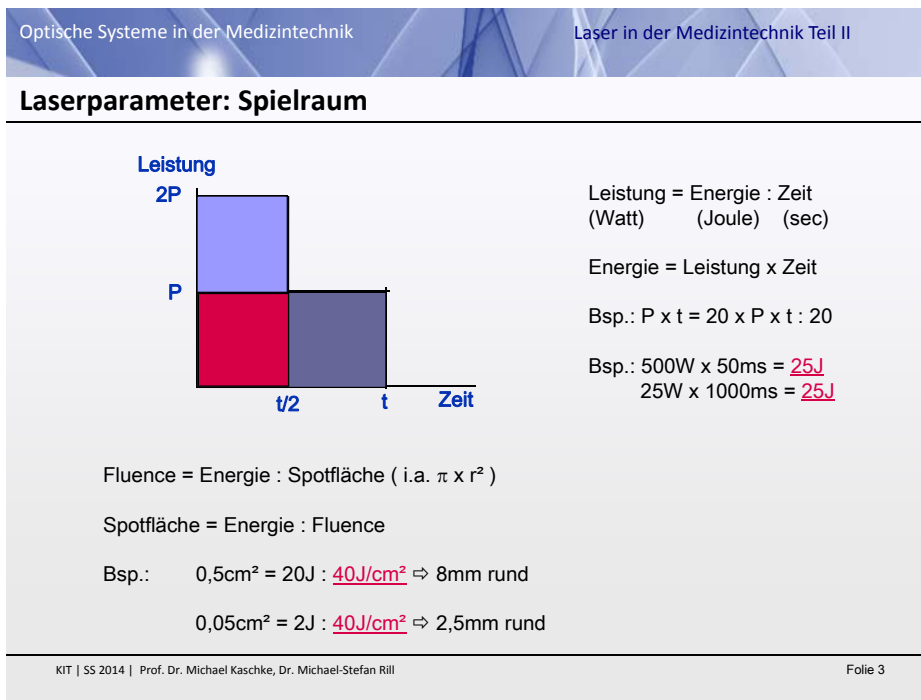
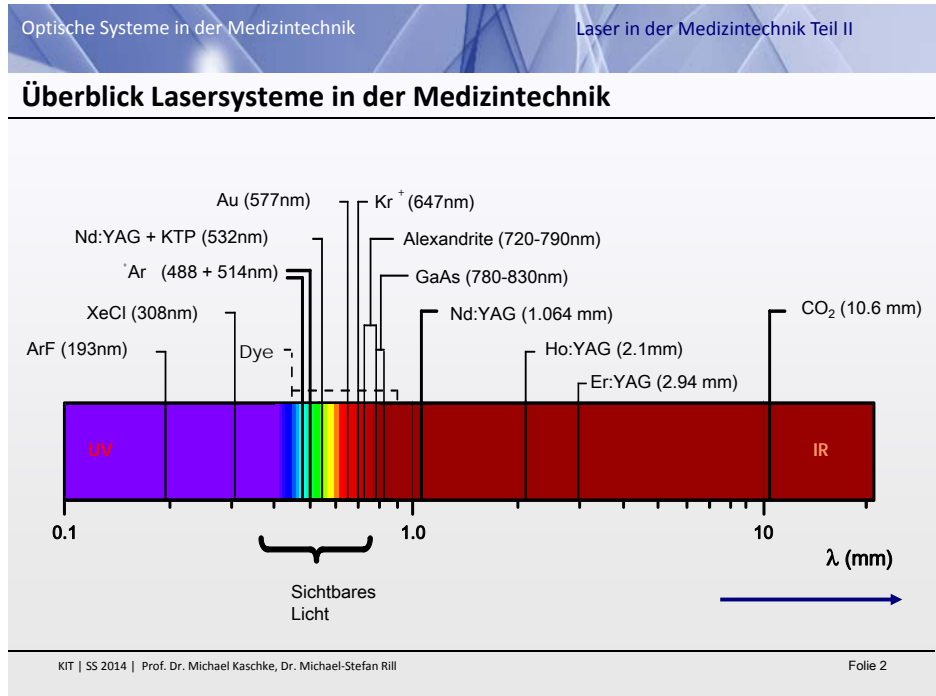


Optische Systeme in der Medizintechnik

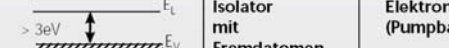
## Vorlesung 3 : Laser in der Medizintechnik Teil II

The diagram shows a laser cavity with a gas supply, mirrors (R=1), and a strip electrode. A beam splitter allows light to hit a screen. The graph plots intensity (W/cm²) against exposure time (s) on a log-log scale. Regions include photodisruption, plasma-induced ablation, photoablation, photothermal interaction, and photochemical interaction.



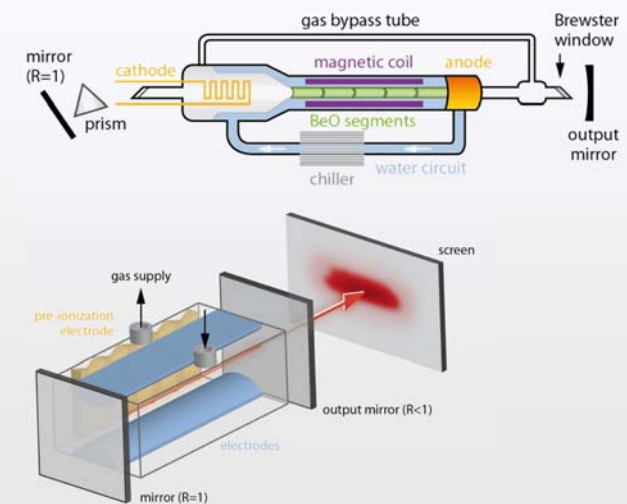
## Gain-Medien zur Erzeugung von Laserlicht

### Aktive Medien zur Erzeugung von Laserlicht

Aktives Medium	Inversion durch Anregung von	Laser
	Atome Ionen	Elektronen He-Ne Ar-Ionen
	Moleküle	Vibration Rotation CO <sub>2</sub>
	Isolator mit Fremdatomen	Elektronen (Pumpband) Nd:YAG
	Halbleiter	Elektronen im Leitungsband GaAs-Injektionslaser

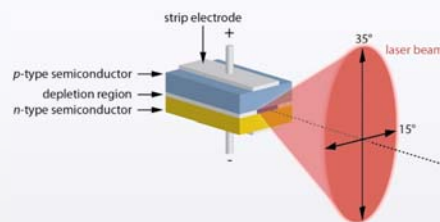
## Lasertypen

### Gas-Laser:

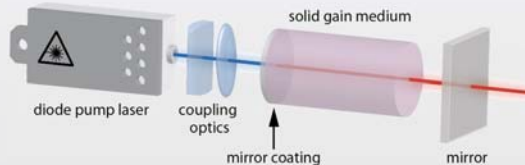


## Lasertypen

### Halbleiter-Laser:



### Festkörper-Laser:



## Lasersysteme in der Medizintechnik: CO<sub>2</sub>-Gaslaser

## CO<sub>2</sub>-Laser

**Unterschied zu anderen Lasern:**

Atome im elektrischen Grundzustand

→ Laserniveaus sind Vibrations- und Rotationsniveaus

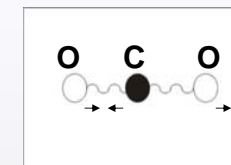
**Typische Energien:**

elektronische Übergänge	1 - 10 eV	UV-NIR
Vibrationsübergänge	0,1 - 2 eV	MIR
Rotationsübergänge	10 <sup>-5</sup> - 10 <sup>-3</sup> eV	FIR

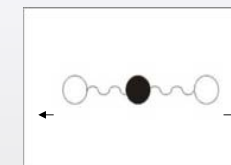
hoher Wirkungsgrad elektrisch / optisch : ~ 30 % bis zu 100 kW (cw-Betrieb) bzw. 100 kJ (gepulst)

## CO<sub>2</sub>-Laser: Schwingungstypen

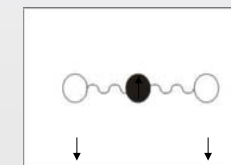
- asymmetrische Stretschwingerung (001)  
oberes Laserniveau



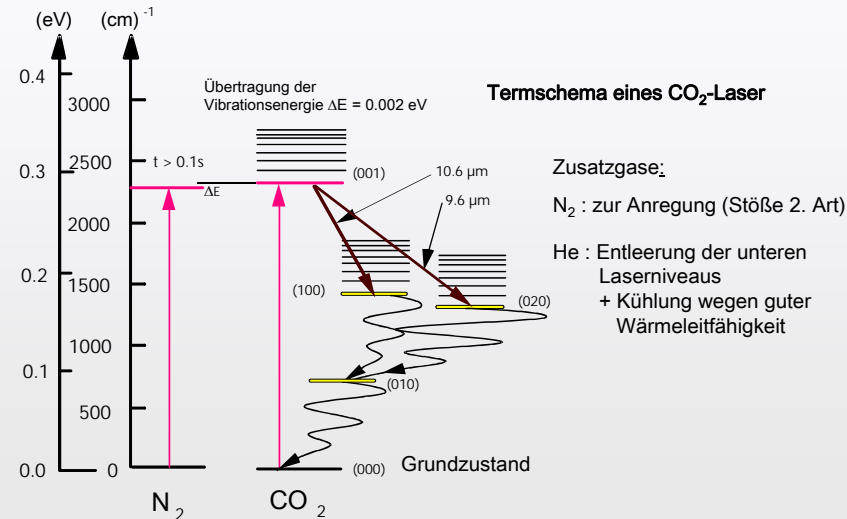
- symmetrische Stretschwingerung (100)  
unteres Laserniveau 1



- Knickschwingerung (020)  
unteres Laserniveau 2

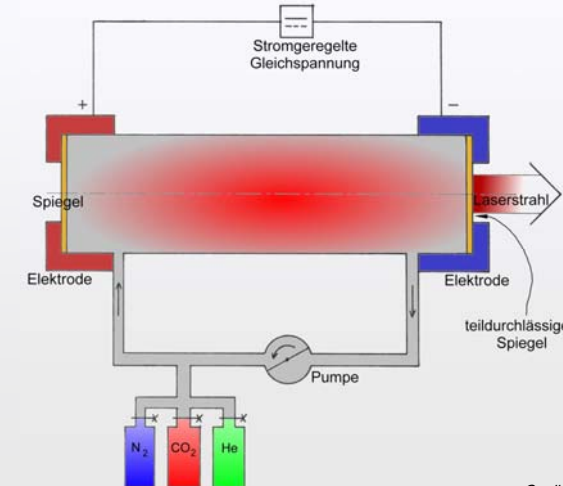


## CO<sub>2</sub>-Laser: Laser-Niveaus



## Geströmter Hochleistungs-CO<sub>2</sub>-Lasers

### Funktionsprinzip

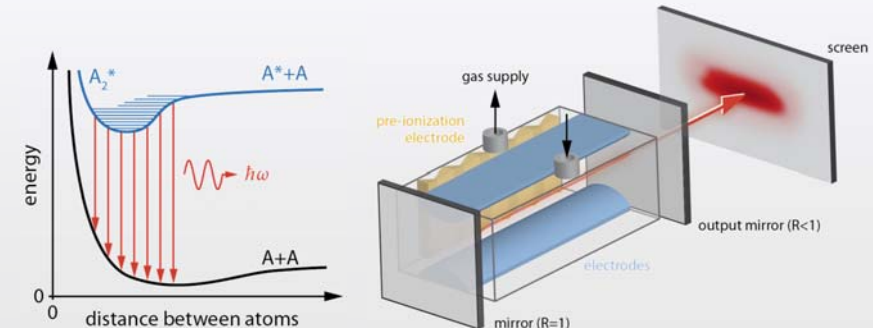


Quelle: de.wikipedia.org

# Lasersysteme in der Medizintechnik: Excimer-Laser

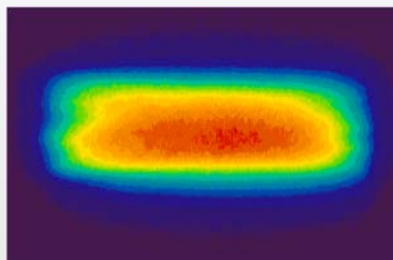
## Excimer-Laser

- Übergang liegt im ultravioletten Spektralbereich (UV)
- Übergang ist breitbandig ( $\Delta\lambda = 20 \text{ nm}$ )
- 4-Niveau-System, da Grundzustand praktisch unbesetzt

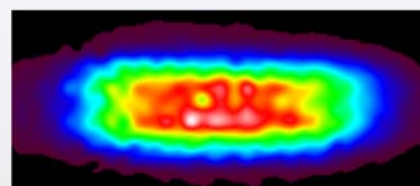


## Excimer-Laser : typische Strahlprofile

Fernfeld



Nahfeld

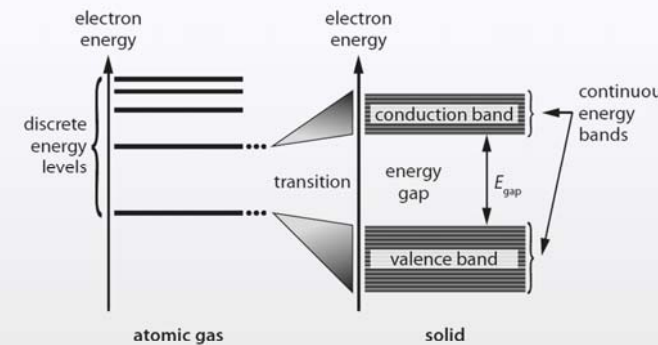


## Excimer-Laser : Typen und Systemdaten

Excimer	Bereich	Wellenlänge in [nm]	Lebensdauer in [ns]	Pulsbreite [ns]
XeF		351	12 - 19	
XeCl		308	11	
XeBr		282	12	
KrF	UV	248	6.5 - 9	25
ArF	DUV	193	4.2	15
				12
F <sub>2</sub>	DUV	157		9
Ar <sub>2</sub>	DUV	126		9

# Lasersysteme in der Medizintechnik: Halbleiter-Laser

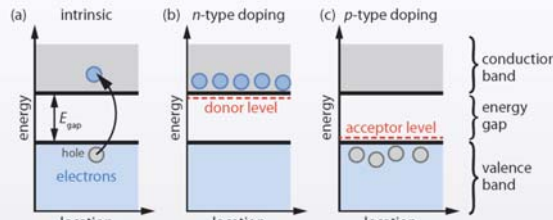
## Einschub: Bändermodell der Festkörper



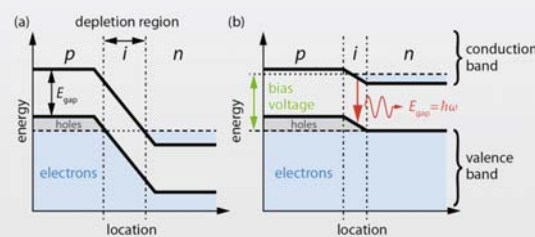
**Figure B.18** Formation of electronic energy bands in solids. As the separated atoms (left) are arranged periodically to form a solid (right), the energy levels start to overlap with each other. This causes strong interactions and, thus, the formation of broad energy bands. Optical transitions between them appear over a continuous spectral range rather than for discrete wavelengths. For the description of optical properties of solids, the highest energy bands (valence and conduction bands) are of particular interest.

## Halbleiter-Laser: Bandstruktur

- Bandstruktur von
  - a) Reinen Halbleitern
  - b) n-dotierten Halbleitern
  - c) p-dotierten Halbleitern



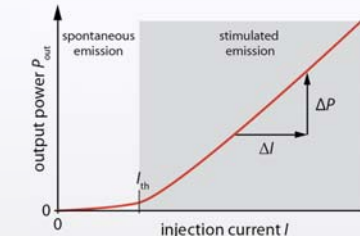
- Bandstruktur einer p-i-n Diode
  - a) ohne Vorspannung
  - b) mit Vorspannung



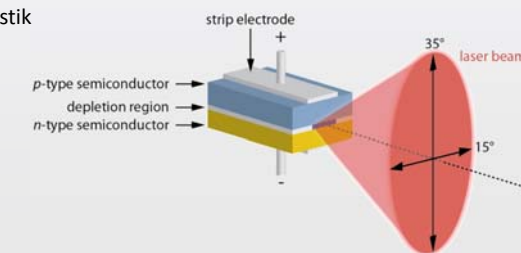
Bandverbiegung  
Bandshift durch Spannung  
p- und n-Träger in gleicher  
räumlicher Region

## Halbleiter-Laser

Abhängigkeit von Injektionsstrom und Ausgangsleistung:



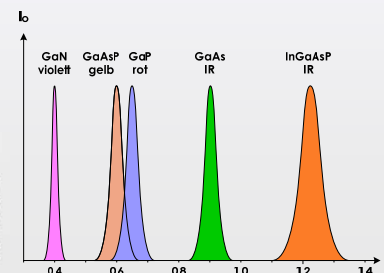
Aufbau und Abstrahlcharakteristik eines Diodenlasers:



## Halbleiter-Laser: Spektrum

- Typische Spektralbreiten :
  - 35 nm im IR
  - 6 nm im Violetten
- Spektrale Lage abhängig von Halbleiter-Material

Category	Gain Medium	Operation Mode	Wavelength	cw Output Power (W)
Gallium-arsenide laser	GaAlAs	cw/p	650 – 880 nm	$10^1$
	InGaAsP	cw/p	630 – 2000 nm	$10^1$
	InGaAs	cw/p	904 – 1065 nm	$10^1$
	InGaAs	cw/p	1.27 – 1.33 μm	$10^1$
Gallium-nitride laser	InGaN	cw/p	370 – 493 nm	$10^{-1}$
	InGaAlP	cw/p	630 – 685 nm	$10^{-1}$



### Achtung:

#### Light-Emitting Diode (LED):

The light-emitting diode (LED) is a forward-biased p-n diode whose light emission is based on spontaneous processes. The wavelength (color) of the emitted light is determined by the energy gap of the used semiconductor. Typically, the spectral width is broader than that of a corresponding laser source. Compared to "classic" light sources (e.g., light bulbs), LEDs have a lower energy consumption, longer lifetime, improved physical robustness, and smaller size.

## Lasersysteme in der Medizintechnik: Festkörper-Laser

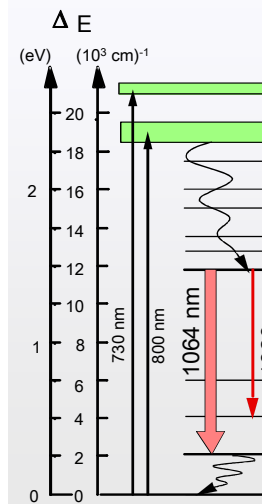
## Festkörper-Laser

### Grundprinzipien:

- Dotiere Ionen in einen Isolator-Kristall
- Optisches Pumpen mittels Blitzlampen, Halbleiter-Lasern oder anderen Laserquellen
- In Festkörper-Gain-Medien kann viel Energie gespeichert werden.  
Gründe:
  - Lebenszeit im oberen Laser-Niveau der Ionen hoch
  - Bandbreite der Gain-Medien in der Regel sehr hoch
- Wegen Zeit-Bandbreiten-Produkt  
 $\tau \Delta\omega > 2\pi$

folgen daher sehr kurze Pulsdauern (fs-Bereich!)

## Festkörper-Laser: Nd:YAG



Pumpwellenlänge: 700 / 800 nm

Laserwellenlänge: 1064 nm (1,17 eV)

Lebensdauer oberes Laserniveau (4F2/3) t = 240 μs

Wirkungsgrad: Lampe: 0,4 % Diode: > 6 %

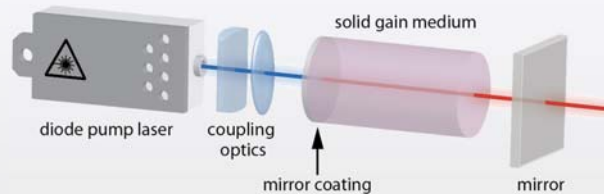
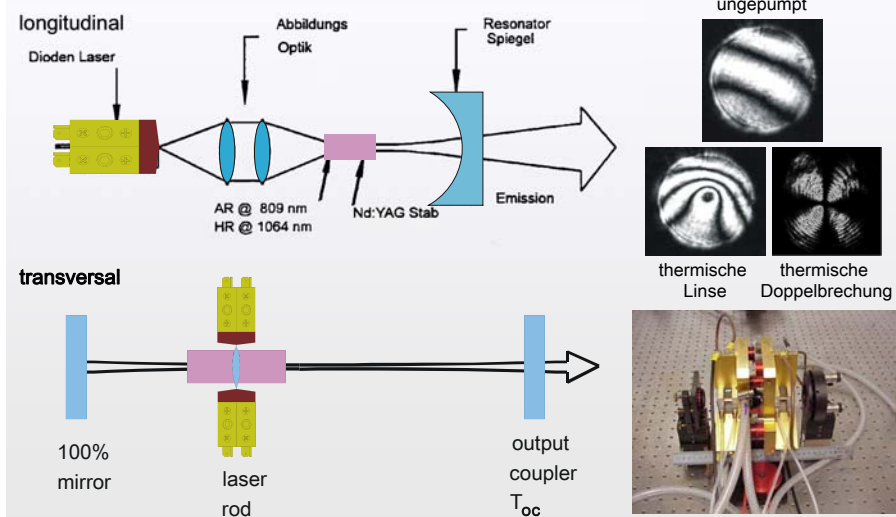
**YAG = Wirkskristall**  
**Yttrium-Aluminium-Granat**  
- guten optischen Eigenschaften  
- hoher Wärmeleitfähigkeit

Im Nd:YAG Laser sind ca. 1% der  $\text{Y}^{3+}$ -Ionen durch  $\text{Nd}^{3+}$ -Ionen ersetzt

Termschema Nd:YAG-Lasers

**Festkörper-Laser: Nd:YAG**

Typischer Aufbau eines Dioden-gepumpten Festkörperlasers:

**Festkörper-Laser: Beispiele der Pump-Geometrie****Festkörper-Laser: Geometrie des Gain-Mediums**

Ursprüngliche Form des aktiven Mediums von Festkörperlasern:

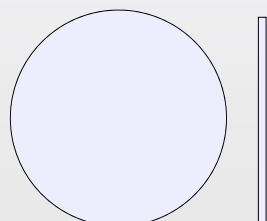
**Stab:**



1. **Extremfall:** maximale z-Ausdehnung = **Faser:**

- o

2. **Extremfall:** maximale radiale Ausdehnung = **Scheibe:**

**Festkörper-Laser: Eigenschaften der Faser- und Scheibenlaser**

Laser Type	Advantages	Challenges
Fiber laser	<ul style="list-style-type: none"> <li>• Efficient cooling</li> <li>• Compact design</li> <li>• Few mechanical components</li> <li>• Large bandwidth</li> <li>• High pump efficiency</li> <li>• High beam quality</li> </ul>	<ul style="list-style-type: none"> <li>• Output power limited by non-linear effects</li> <li>• Fiber might be destroyed at high power</li> <li>• Chromatic dispersion</li> </ul>
Disk Laser	<ul style="list-style-type: none"> <li>• Efficient cooling</li> <li>• Compact design</li> <li>• High pump efficiency</li> <li>• Beam quality and pump efficiency independent from output power</li> </ul>	<ul style="list-style-type: none"> <li>• Substantial losses due to spontaneous emission in transverse direction</li> </ul>

## Festkörper-Laser: Beispiele für Medizinlaser

Category	Gain Medium	Operation Mode	Typical Pulse Duration	Wavelength	Typical cw Output Power (W)
Glass laser	Nd:SiO <sub>2</sub>	ml	0.1 – 100 ns	1.06 µm	–
Ruby laser	Cr:Al <sub>2</sub> O <sub>3</sub>	cw/qs	1 – 250 µs	694 nm	10 <sup>0</sup>
Titanium-sapphire laser	Ti:Al <sub>2</sub> O <sub>3</sub>	cw/qs/ml	0.05 – 100 ps	670 – 1130 nm	10 <sup>0</sup>
Vanadate laser	Nd:YVO <sub>4</sub>	cw/qs/ml	0.1 – 10 ns	1.06 µm	10 <sup>+1</sup>
YAG laser	Yb:Y <sub>3</sub> Al <sub>5</sub> O <sub>12</sub>	cw/qs/ml	0.5 – 1000 ns	1.05 µm	10 <sup>+1</sup>
	Nd:Y <sub>3</sub> Al <sub>5</sub> O <sub>12</sub>	cw/qs/ml	0.1 – 250 µs	1.06 µm	10 <sup>+2</sup>
	Nd:Y <sub>3</sub> Al <sub>5</sub> O <sub>12</sub>	cw/qs/ml	0.1 – 250 µs	1.12 µm	10 <sup>+0</sup>
	Nd:Y <sub>3</sub> Al <sub>5</sub> O <sub>12</sub>	cw/qs/ml	0.1 – 250 µs	1.32 µm	10 <sup>+1</sup>
	Ho:Y <sub>3</sub> Al <sub>5</sub> O <sub>12</sub>	cw/ml	0.1 – 250 µs	2.08 µm	10 <sup>+1</sup>
	Er:Y <sub>3</sub> Al <sub>5</sub> O <sub>12</sub>	cw/ml	0.1 – 250 µs	2.94 µm	10 <sup>+1</sup>

## Laser-Gewebe-Wechselwirkung

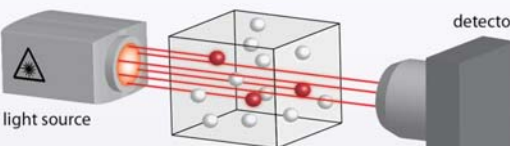
## Allgemeine Wechselwirkung von Licht mit Materie

### Absorption:

Absorptionskoeff.:  $\mu_a(\lambda)$

Eindringtiefe:  $\delta_a = \frac{1}{\mu_a(\lambda)}$

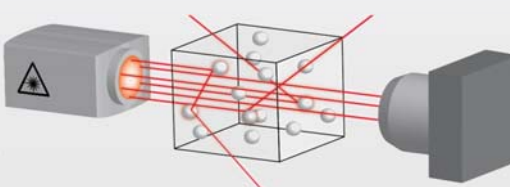
Lambert-Beer:  $I = I_0 e^{-\mu_a(\lambda) L}$



### Streuung:

Streukoeffizient:  $\mu_s(\lambda)$

Streuverlust:  $I = I_0 e^{-\mu_s(\lambda) L}$



## Allgemeine Wechselwirkung von Licht mit Materie

Extinktionskoeffizient:  $\mu_t = \mu_a + \mu_s$  beschreibt Gesamtabschwächung.

$$I = I_0 \cdot e^{-\mu_t z}$$

Albedo durch Streuvermögen:  $A = \frac{\mu_s}{\mu_t} = \frac{\mu_s}{\mu_a + \mu_s}$

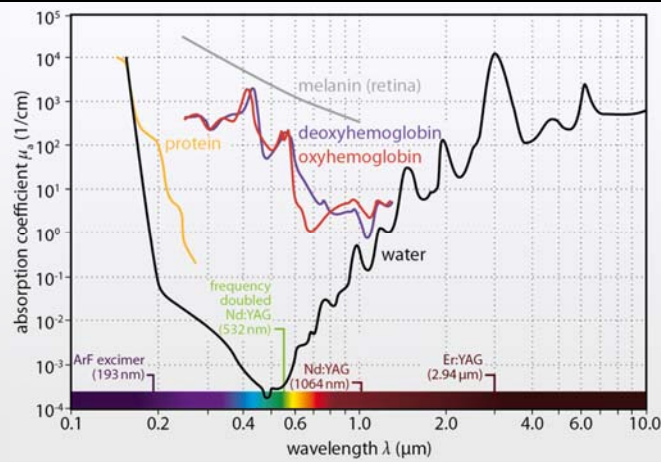
( $A = 0$ , nur Absorption;  $A = 1$ , nur Streuung)

Die mittlere freie Weglänge ist die Tiefe, in der die Intensität der Strahlung auf  $1/e$  ( $T = 37\%$ ) abgeschwächt wurde.  $\delta_a = \frac{1}{\mu_a}$

Wahrscheinlichkeit Photon in einer Tiefe von

2 $\delta_a$	zu finden ist 13%
3 $\delta_a$	" 5%
4 $\delta_a$	" 2%

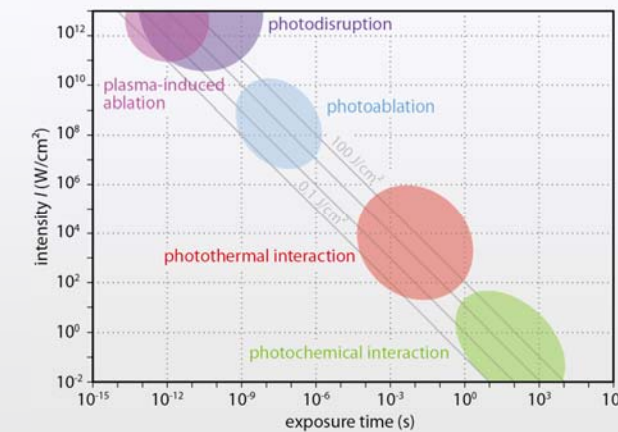
## Lichtabsorption in Gewebe



**UV / VIS – Absorber:** Proteine, Hämoglobin, Melanin, etc.

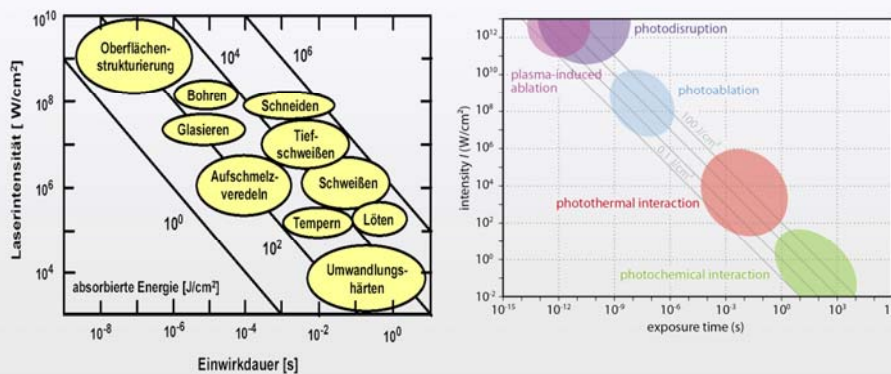
**FIR / NIR – Absorber:** Wasserabsorption in Gewebe. Anregung der Schwingungsbanden (O-H, N-H, C-H)

## Arten der Licht-Gewebe-Wechselwirkung

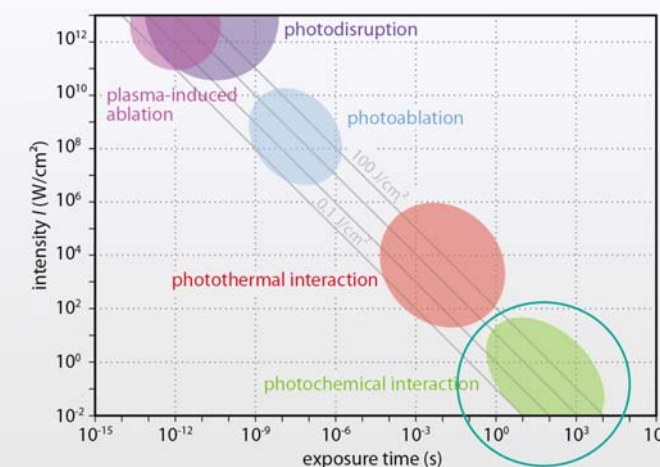


## Materialbearbeitung vs. Licht-Gewebe-Wechselwirkung

### Bearbeitungsverfahren mit Laserstrahlung

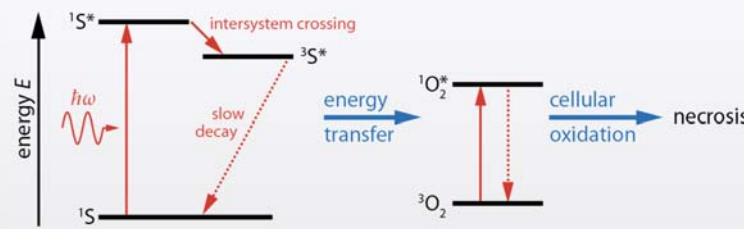


## Photochemische Wechselwirkung



## Photochemische Wechselwirkung: Beispiel PDT

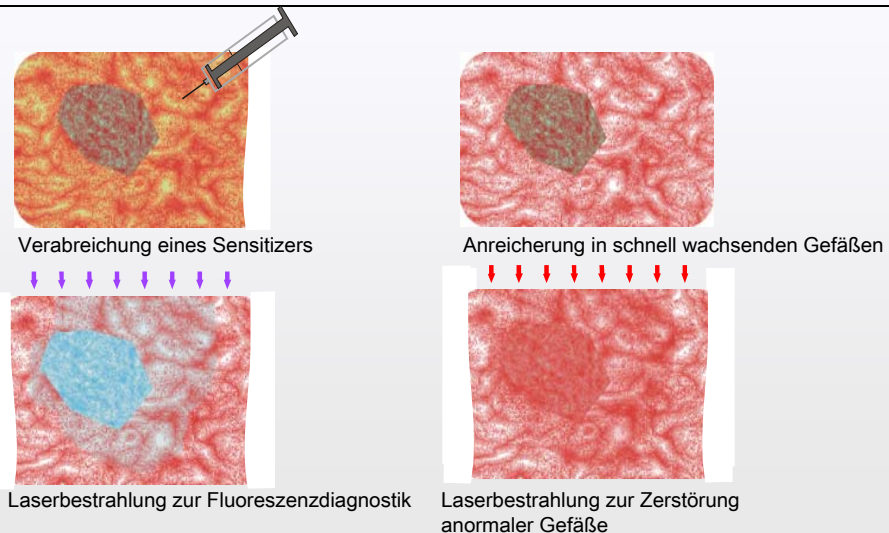
Photosensitive Oxidation in der photodynamischen Therapie (PDT):



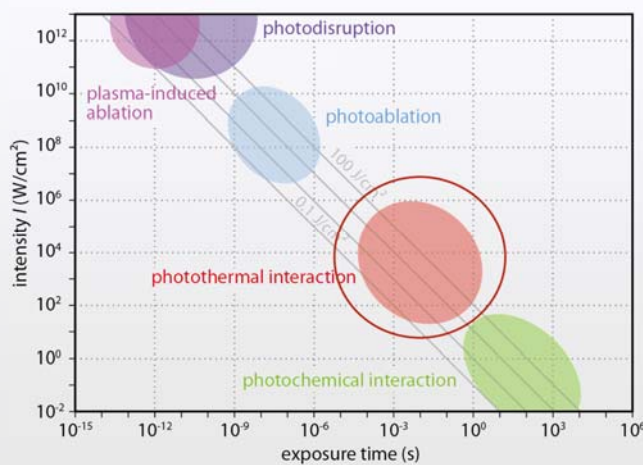
Chemische Reaktion:



## Photochemische Wechselwirkung: Beispiel PDT



## Photothermische Wechselwirkung



## Photothermische Wechselwirkung

Der therapeutischen Wert der Hitzeanwendung war bereits in der Antike wohlbekannt.

Was Medikamente nicht heilen können,  
wird durch das Messer geheilt.

Was das Messer nicht heilen kann,  
wird geheilt durch das Feuer.

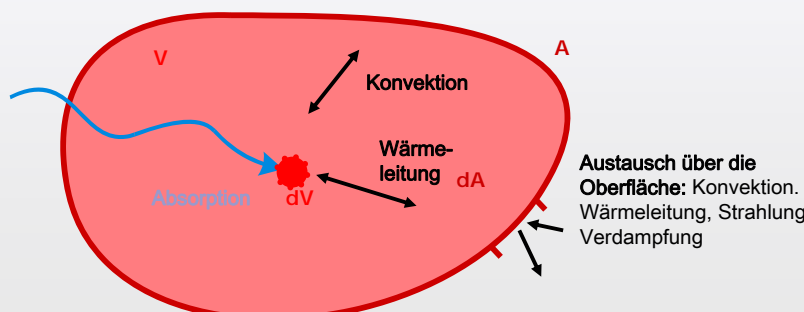
Was wirkliches Feuer nicht heilen kann,  
sollte als unheilbar gelten.

Hippokrates (460 - 377 v.Chr.)

## Photothermische Wechselwirkung

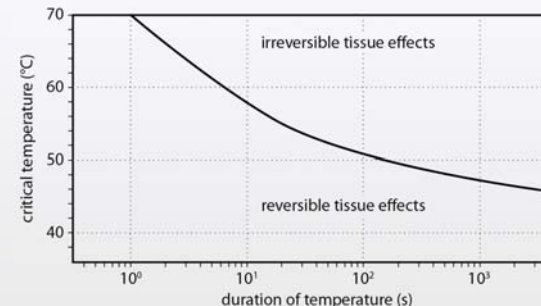
Der überwiegende Teil (nahezu 100%) der absorbierten Laserenergie wird innerhalb von  $\text{ps} \dots \text{ns}$  in Wärmeenergie umgewandelt.

Anschließende Wärmeverteilung mit Temperaturausgleich.



## Photothermische Wechselwirkung

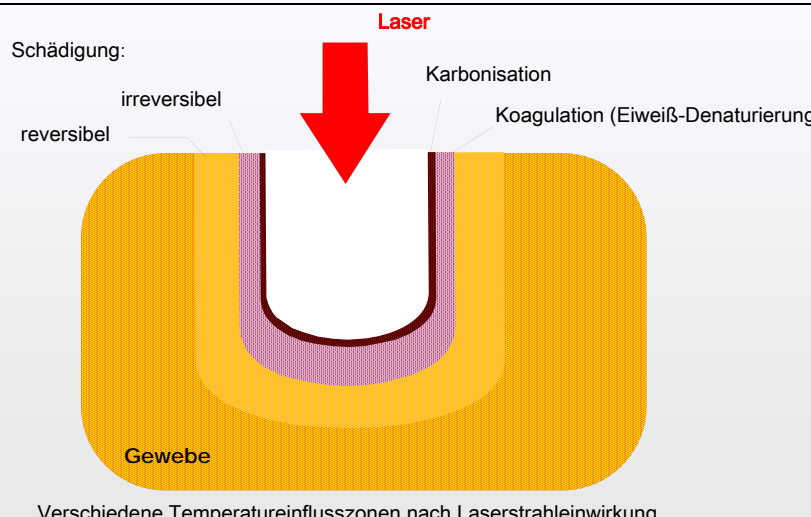
Ab einer bestimmten kritischen Temperatur und Einwirkungsdauer  $t_{\text{exp}}$  kommt es zu irreversiblen Veränderungen im Gewebe (Denaturierung bzw. Koagulation):



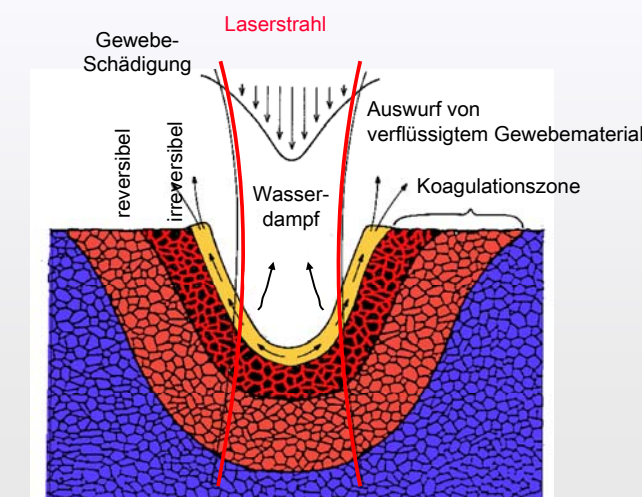
$$\text{Thermische Eindringtiefe: } L_{\text{tpd}} = \sqrt{4\kappa t_{\text{exp}}} \quad \kappa \text{ ist der Wärmeleitungscoefficient}$$

$$\text{Thermische Relaxationszeit: } t_r = \frac{\delta_a^2}{4\kappa} = \frac{1}{4\mu_a^2 \kappa} \quad \kappa \text{ in m}^2/\text{s}$$

## Photothermische Wechselwirkung: Temperatureinflusszonen

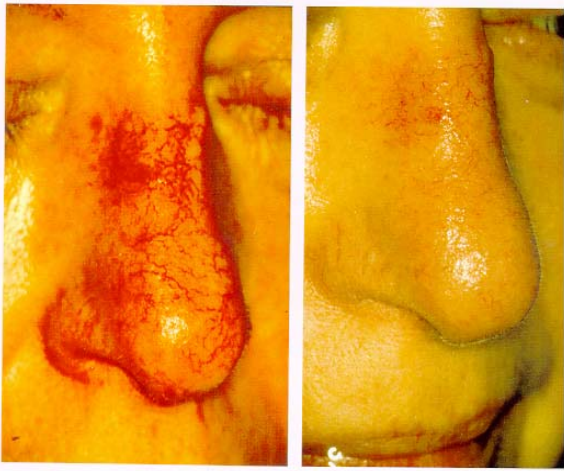


## Photothermische Wechselwirkung: Vaporisation



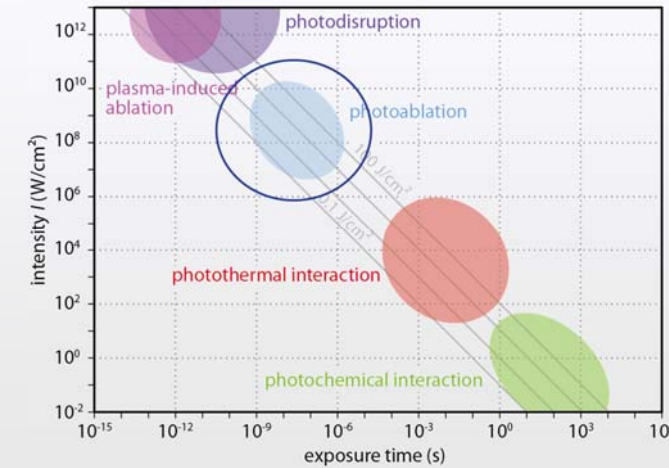
## Photothermische Wechselwirkung: Beispiel

Vaskuläre Veränderungen bei photothermischer Wechselwirkung



Indikation: Teleangiektasien Nase  
Wellenlänge: 578 nm  
Fokusgröße: 1,2 mm  
Laserleistung: 3,0 W  
Technik: 100 ms Pulse  
Behandlungen: 1

## Photoablation



## Photoablation: Wechselwirkungsprozesse

### Ablation durch Photodekomposition:

- Aufbrechen molekularer Bindungen in Proteinen und Kollagen durch WW mit kurzen UV-Laserpulsen
- Photonenenergie muss höher als Dissoziationsenergie der Molekularbindungen sein:

$$\frac{h}{2\pi} \omega = \frac{hc}{\lambda} > E_{diss} \quad \text{wobei } E_{diss} \text{ im Bereich von 3 bis 7eV liegt}$$

### Photothermische Ablation:

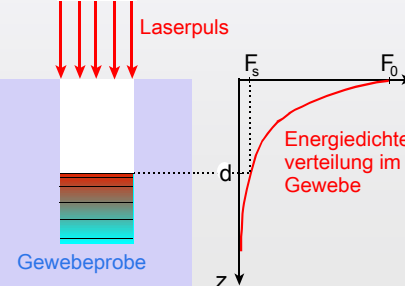
- Plötzliches Verdampfen von Wasser in Zellen durch MIR/FIR-Strahlung  
→ Aufplatzen der Zellen wie bei einer Explosion

In Realität liegen oft Mischformen beider WW-Prozesse vor.

## Photoablation: Blow-off-Modell

### Modellannahmen:

Es existiert eine Schwelle  $\Phi_{th}$  unterhalb der kein Material verdampft und damit abgetragen werden kann:

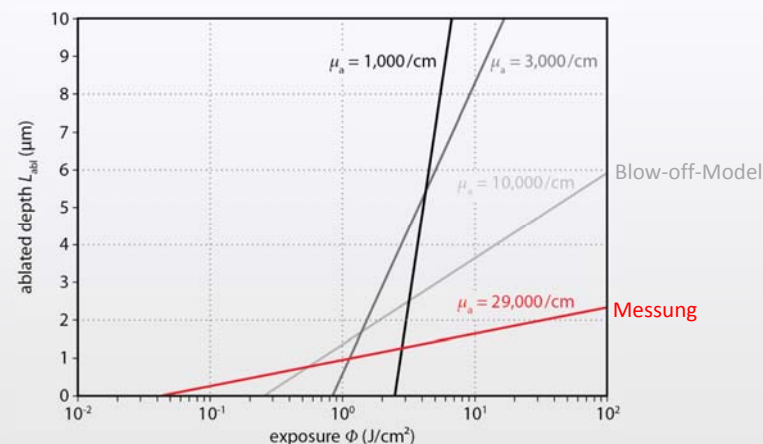


Für Pulseängen < 100ns und  
 $\frac{h}{2\pi} \omega = \frac{hc}{\lambda} > E_{diss}$   
 haben wir Photodekomposition.

→ Ablationstiefe :  

$$L_{abl} = \frac{1}{\mu_a(\lambda)} \ln \left( \frac{\Phi}{\Phi_{th}} \right)$$

## Photoablation: Blow-off-Modell

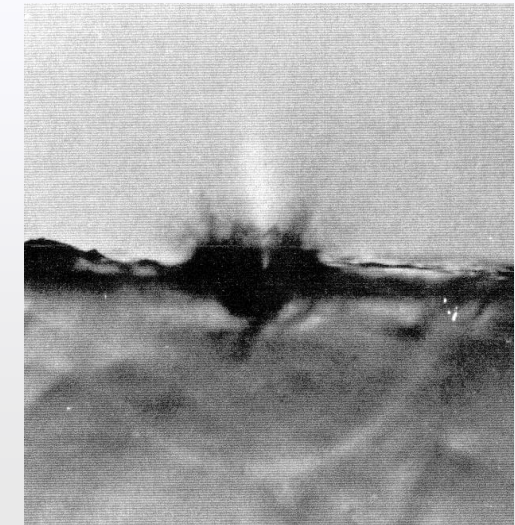


## Photoablation

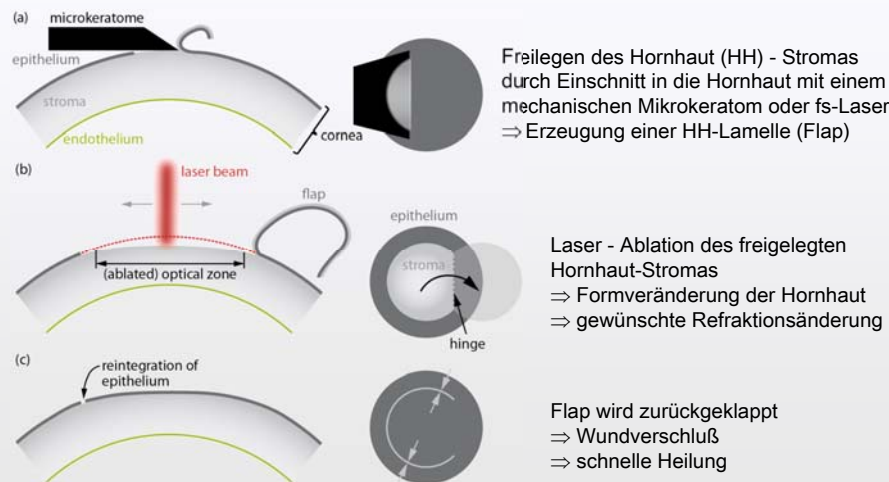
**Definition Photoablation:**

$$\tau_{\text{Laser}} < \tau_{\text{R}}$$

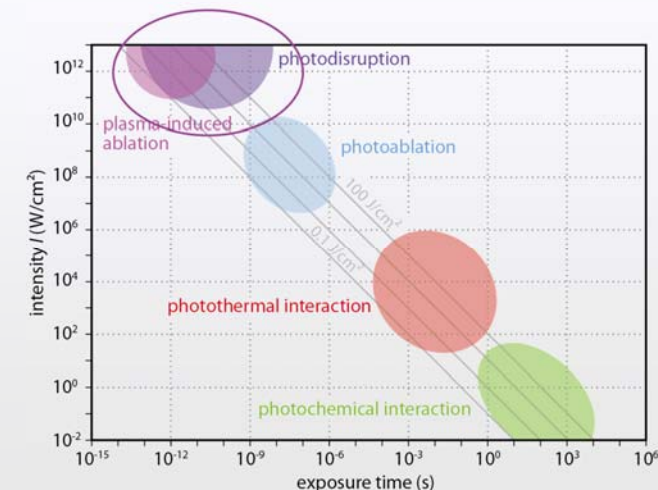
$\tau_{\text{R}}$  thermische Relaxationszeit



## Photoablation: Beispiel Laser *in-situ* Keratomileusis (LASIK)



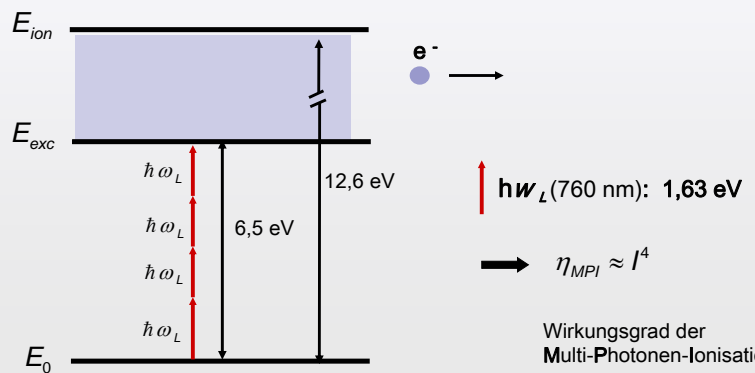
## Plasma-induzierte Ablation / Photodisruption



## Plasma-induzierte Ablation / Photodisruption: Optischer Durchbruch

### SCHRITT 1:

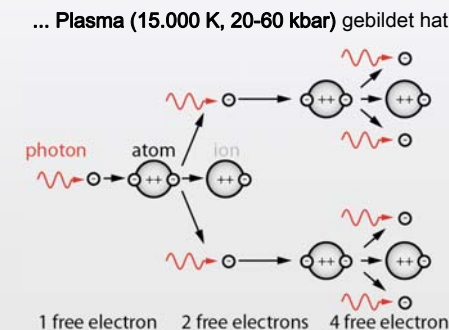
Oberhalb einer Lichtintensität von ca.  $10^{11} \text{ W/cm}^2$  kommt es in **transparenten Gewebe-Medien** zu einem starken, nicht-linearen Anstieg der **Absorption** des Lichtes, begleitet von einem **weißen Lichtblitz**. Physikalische Ursache ist die **Multiphotonabsorption**.



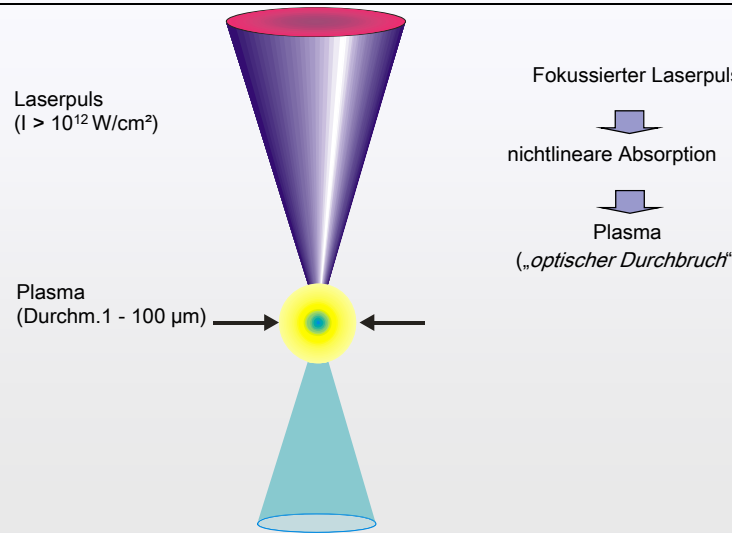
## Plasma-induzierte Ablation / Photodisruption: Optischer Durchbruch

### SCHRITT 2:

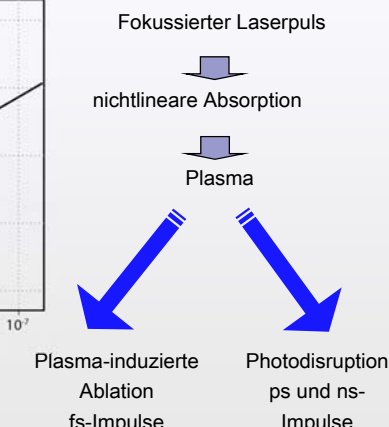
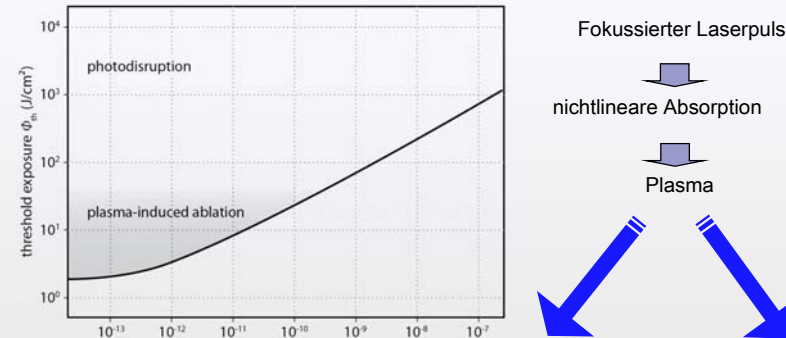
Es findet anschließend ein „**optischer Durchbruch**“ statt, bei dem ein **Plasma** gebildet wird. Startelektronen werden durch Photonabsorption beschleunigt (inverse Bremsstrahlung) und erzeugen durch Stoßionisation ihrerseits Sekundärelektronen (Lawinenprozess) solange, bis sich ...



## Plasma-induzierte Ablation / Photodisruption: Optischer Durchbruch



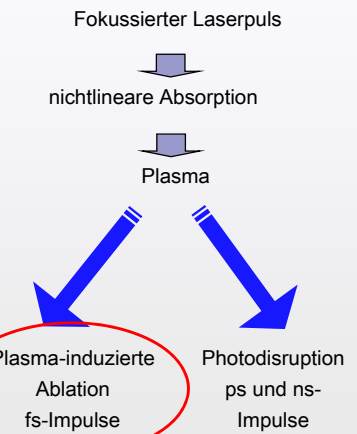
## Plasma-induzierte Ablation / Photodisruption: Übergangsbereich



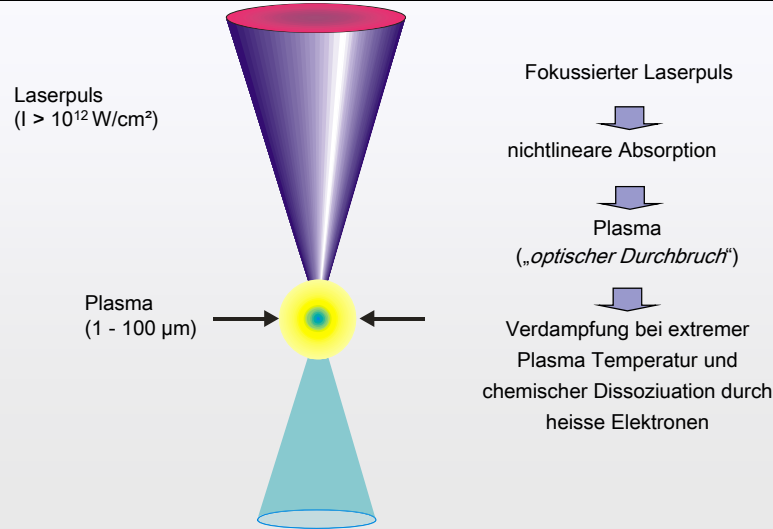
## Plasma-induzierte Ablation

### Plasma-induzierte Ablation

- Kurze Pulsdauer (fs), geringe Exposure knapp über Durchbruchsschwelle  
→ mechanische Wechselwirkungseffekte vernachlässigbar
- Innerhalb des Laserfokus wird Gewebe thermisch evapiert (hohe Plasma-Temperatur, chemische Dissoziation)
- Reaktionsprodukte bilden kleine Gasblase, die vom Gewebe wieder resorbiert wird.  
→ sehr präzise Schnitte möglich
- **ACHTUNG: Nicht mit Photoablation verwechseln!!** Photoablation beruht auf Einphotonen-Absorption; plasma-induzierte Ablation auf Mehrphotonenabsorption.



### Plasma-induzierte Ablation

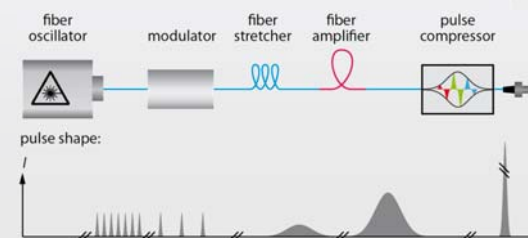


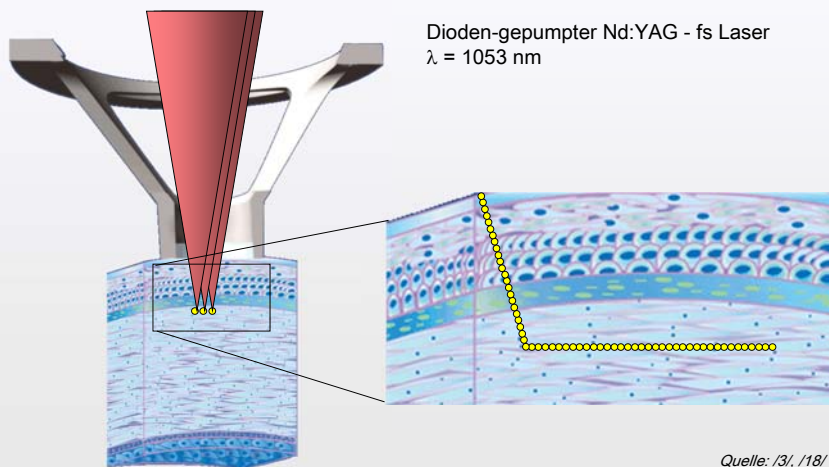
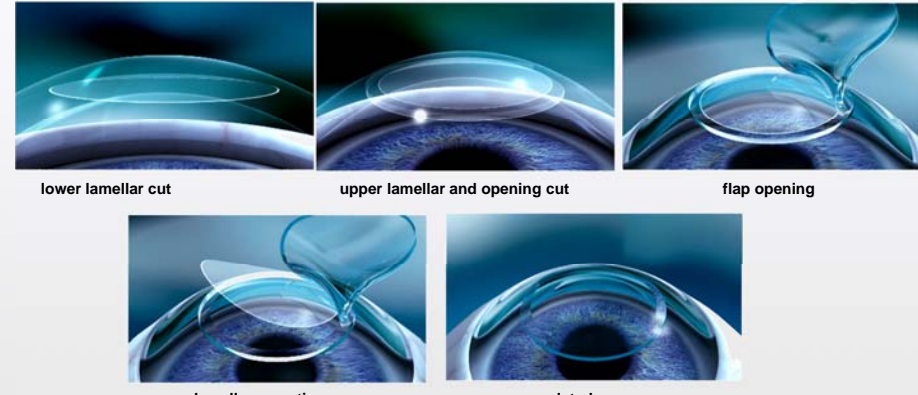
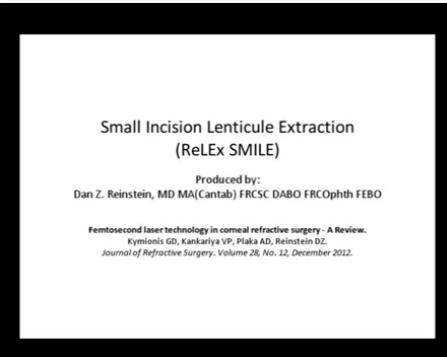
### Plasma-induzierte Ablation: Beispiel fs-LASIK / ReLEx

(VisuMax von Carl Zeiss)

nominal specifications	
center wavelength (nm)	1045
pulse energy (µJ)	2
pulse duration (fs)	500
repetition rate (kHz)*	200

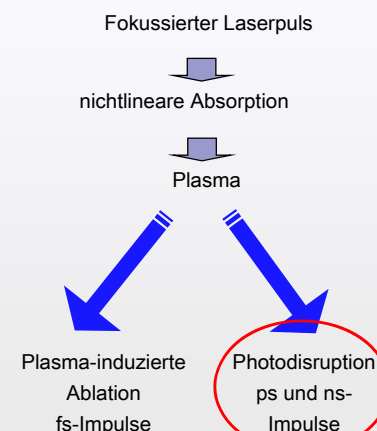
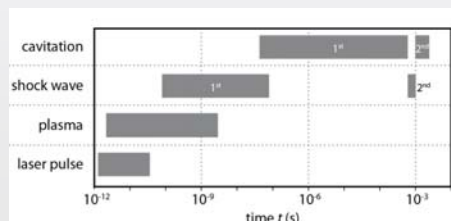
\* Repetition rate may be factory set between 100 kHz and 5 MHz with subsequent change in pulse energy and duration.



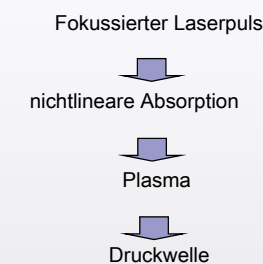
**Plasma-induzierte Ablation: Beispiel Flap-Erzeugung für LASIK****Plasma-induzierte Ablation: Beispiel ReLEX****Plasma-induzierte Ablation****Beispiel Laser Cataract Surgery****Beispiel ZEISS ReLEX SMILE****Photodisruption**

## Photodisruption

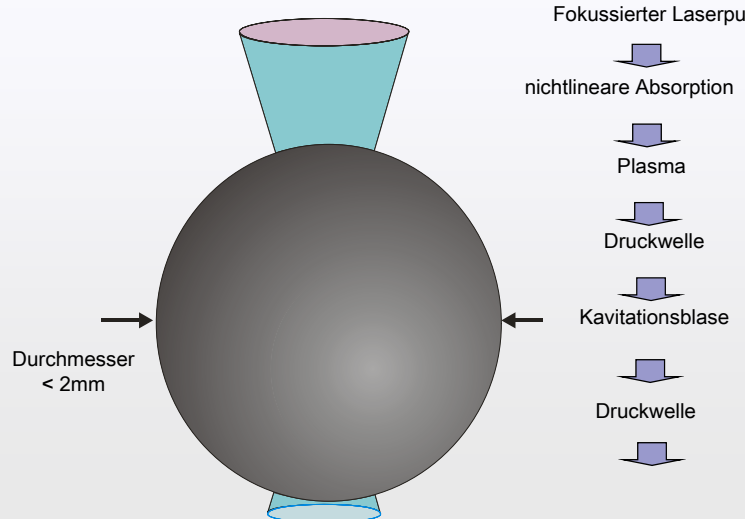
- Längere Pulsdauer (ps, ns), hohe Exposure  
→ mechanische Wechselwirkungseffekte
- Es wird viel Energie ins Plasma „gepumpt“  
→ Gasblase dehnt sich weit aus
- Mechanische Wechselwirkungs-Effekte:
  - Schockwellen durch Trennung von Elektronen und Ionen
  - Kavitation durch Überdruck in Gasblase  
→ Gewebe wird weggedrückt
- Zeitliche Abfolge:



## Prinzip der Photodisruption I



## Prinzip der Photodisruption II



## Photodisruption: Auswirkung auf das Gewebe

	ns	ps	fs
Intensität [ $10^{12} \text{ W/cm}^2$ ]	0,05 [1]	0,5...1 [1]	5...10 [0,1]
Energiedichte [ $\text{J/cm}^2$ ]	10...100 [3]	2...10 [2,3]	1...3 [0,2,3]
Pulsenergie [mJ]	100...10.000 [1]	1...5 [1]	0,5...3 [0,1]
Amplitude der akustischen Transiente (1mm Entfernung) [bar]	100...500 [5]	10...100 [5]	1...5 [0]
Durchmesser der Kavitationsblase [mm]	100...2.000 [4]	200...500 [4]	<80 [0]
Schwellwert der Exposure [ $\text{J/cm}^2$ ]	10 ... 100	2 ... 10	1 ... 3

[0] own results

[1] Vogel et al. SPIE 3255, 34 (1998)

[2] Niemz et al. Lasers and Light in Ophthalmol 5(3), 149 (1993)

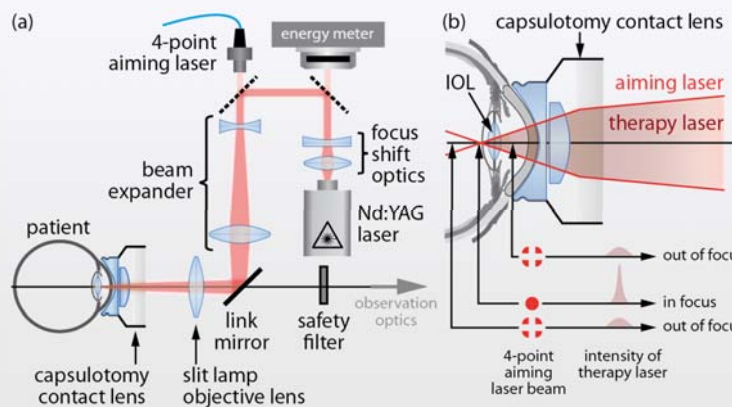
[3] Loesel et al. SPIE 2923,118 (1997)

[4] Vogel et al. SPIE 1877, 312 (1993)

[5] Vogel et al. J. AcoustSoc. Am. 100(1),148 (1996)

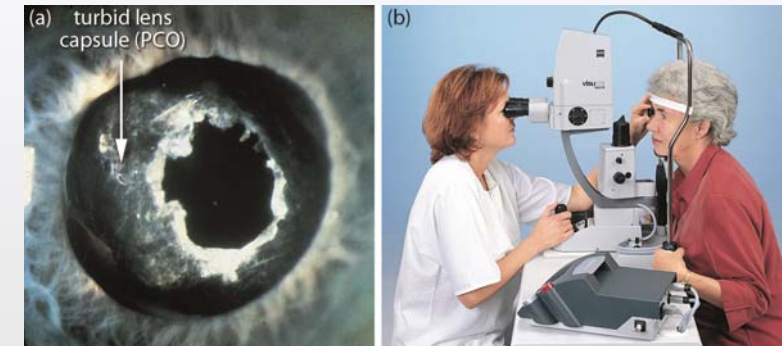
## Photodisruption: Beispiel Posteriore Laserkapsulotomie

### Setup zur Nachstar-Behandlung:



## Photodisruption: Beispiel Posteriore Laserkapsulotomie

### Aufreißen des posterioren Kapselsacks der Augenlinse:



**P9.1 Penetration depth of lasers:** Calculate the penetration depths for the following lasers in water and in blood-rich tissue: Nd:YAG laser, Nd:YAG (frequency doubled), and ArF excimer laser.

### P9.2 Light-tissue interaction:

- Which light-tissue interaction can only be realized by the use of lasers? For which interaction mechanisms can conventional (thermal) light sources be used alternatively?
- What are the primary reasons for laser usage in medical therapy?

### P9.3 Intensity:

- Calculate the time average of the product of two trigonometric functions with equal frequencies. The time average is defined by

$$\langle a(t)b(t) \rangle = \frac{1}{T} \int_0^T a(t)b(t) dt \quad (9.23)$$

in which

$$a(t) = \text{Re}(A e^{i\omega t}) ; \quad b(t) = \text{Re}(B e^{i\omega t}) \quad (9.24)$$

and  $T = 2\pi/\omega$ .

- Show that the time average of the square of a function

$$a(t) = \text{Re}(V(t)) = \text{Re}(A_1 e^{i\omega t} + A_2 e^{-i\omega t}) \quad (9.25)$$

is given by

$$\langle a^2(t) \rangle = \frac{1}{2} \{ V(t)V^*(t) \} . \quad (9.26)$$

- A red diode laser ( $\lambda = 700 \text{ nm}$ ) with  $10 \text{ mW}$  electrical power and  $10\%$  electrical efficiency is focussed on a  $100 \mu\text{m}^2$  spot. Which photon fluence (number of photons per time and area) does this correspond to?

**P9.4 Photocoagulation:** Suppose you cook an egg in the pan. Why does the egg white turn from transparent to white?

**P9.5 Plasma-induced ablation and photodisruption:** Plasma-induced ablation and photodisruption are two kind of a laser-tissue interaction occurring at short irradiation times and high intensities. What do they have in common and what is different in the two processes?